

6. Сравнение результатов расчета с опытными данными (фиг. 2) показывает их удовлетворительное согласие. Несколько заниженные значения экспериментальных данных в алюминии $\sim(5-10\%)$ на больших расстояниях от заряда, возможно, связаны с действием упругой разгрузки. Однако погрешности расчета, связанные с упрощением вида уравнения состояния продуктов взрыва, не позволяют делать уверенные заключения по этому поводу. С необходимой для практических приложений точностью в исследованном диапазоне относительных давлений $0.09 \leq p/\rho_0 c^2 \leq 0.45$, значительно превосходящих динамический предел текучести σ исследованных металлов ($p \gg \ll 10\sigma$), гидродинамическое приближение пригодно не только для описания поведения вещества при ударном нагружении, но и в области разгрузки.

Поступила 26 IV 1967

ЛИТЕРАТУРА

- Альтшuler L. B. Применение ударных волн в физике высоких давлений. Успехи физ. наук, 1965, т. 85, № 2.
- Станюкович К. П. Неуставнившееся движение сплошной среды. М., Гостехиздат, 1955.
- Dugmend W. E. Explosive induced Shock waves. J. Appl. Phys., 1957, vol. 28, No. 12.
- Калмыков А. А., Кондратьев В. Н., Немчинов И. В. О разлете мгновенно нагретого вещества и об определении его уравнения состояния по величине давления и импульса. ПМТФ, 1966, № 5.
- Корявов В. П. Приближенное уравнение состояния твердых тел. ПМТФ, 1964, № 3.
- Кузнецов Н. М. Уравнение состояния и теплоемкость воды в широком диапазоне термодинамических параметров. ПМТФ, 1961, № 1.
- Курант Р., Фридрих К. Сверхзвуковое течение и ударные волны. М., Изд-во иностр. лит., 1950.
- Katz S., Dorgan D., Cargan D. Equation of State from Oblique Shock Studies. J. Appl. Phys., 1959, vol. 30, No. 4.
- Динамические исследования твердых тел при высоких давлениях. М., «Мир», 1965.
- Зубарев В. Н. Движение продуктов взрыва за фронтом детонационной волны. ПМТФ, 1962, № 2.

НЕКОТОРЫЕ ЭКСПЕРИМЕНТАЛЬНЫЕ ДАННЫЕ О ПАРАМЕТРАХ ВОЛН НАПРЯЖЕНИЙ В ГРУНТАХ ПРИ ПОДЗЕМНОМ И КОНТАКТНОМ ВЗРЫВАХ

В. Д. Алексеенко, Г. В. Рыков

(Москва)

Сопоставляются экспериментальные данные о параметрах волн напряжений в песчаных и глинистых грунтах при взрывах тротиловых зарядов весом от 0.2 кг до 200 кг. 1. В работе [1] показано, что в окрестности оси симметрии при $\alpha \leq 30^\circ$ (угол α отсчитывается от оси симметрии) поле напряжений при контактном взрыве сохраняет качественные особенности центрально симметричного поля напряжений, возникающего при подземном взрыве, причем при контактном взрыве на возбуждение волн напряжений в грунте расходуется только некоторая часть энергии E_0 от полной энергии взрыва заряда BB E. Поэтому параметры волны при контактном взрыве в области, близкой к оси симметрии, могут быть вычислены по данным о параметрах волн при подземном взрыве, если в последних учесть долю энергии BB E_0 . Для проверки этих соображений был проведен ряд экспериментальных исследований параметров волн при контактном и подземном взрывах в одних и тех же грунтах — песчаных и глинистых. Методика этих исследований описана в [1-3]. Для определения максимальных радиальных напряжений σ_r^m , удельных импульсов I_r и времени действия τ при подземных взрывах были получены следующие эмпирические формулы:

(1.1)

$$\sigma_r^m(R) = K_1 R^{-\mu_1} \text{ кг/см}^2, \quad I_r^o(R) = K_2 R^{-\mu_2} \text{ кг}^{2/3} \text{ сек/см}^2, \quad \tau_r^o(R) = a + \eta R \text{ сек} / \text{кг}^{1/3}$$

$$R = r / r_0, \quad r_0 = 0.054 C^{1/3}, \quad I_r^o = I / C^{1/3}, \quad \tau^o = \tau / C^{1/3} \cdot 10^3$$

Здесь r — расстояние от центра взрыва в м; r_0 — радиус заряда в м; C — вес заряда BB в кг; I_r^o и τ^o — удельный импульс и полное время действия, отнесенные к масштабу явления; K_1 , K_2 , μ_1 , μ_2 , a , η — опытные коэффициенты, зависящие от свойств грунта.

	K_1	μ_1	K_2	μ_2	a	η	λ
(1)	$11.5 \cdot 10^3$	2.36	4.85	1.53	17.5	0.57	0.35
(2)	$42.6 \cdot 10^3$	2.81	—	—	—	—	0.33
(3)	$2.8 \cdot 10^6$	3.45	525	2.73	8.8	0.09	0.23

Здесь строка (1) относится к песчаному грунту с объемным весом скелета $\gamma_0 = 1.50-1.52 \text{ г}/\text{см}^3$ и весовой влажностью $\omega = 10-12\%$; строка (2) — к суглинку с $\gamma_0 = 1.65-1.70 \text{ г}/\text{см}^3$, $\omega = 10-15\%$; строка (3) — к глине с $\gamma_0 = 1.70-1.75 \text{ г}/\text{см}^3$, $\omega = 20-22\%$.

Параметры волн при контактном взрыве при $\alpha \leq 30^\circ$ могут быть определены по формулам (1.1) если в них вместо веса заряда C подставить величину

$$C = \lambda C_0, \quad \lambda = E_0 / E \quad (1.2)$$

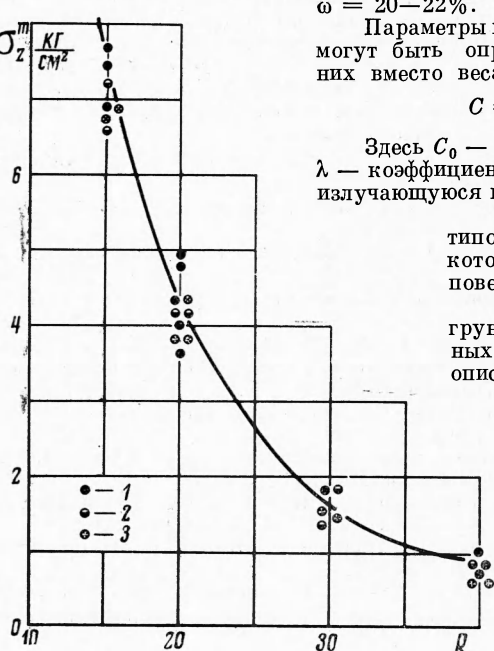
Здесь C_0 — вес заряда ВВ при контактном взрыве, λ — коэффициент, характеризующий долю энергии, излучающуюся в грунте при контактном взрыве.

Значения величины λ для указанных типов грунтов при взрывах зарядов, центр которых находится на уровне свободной поверхности, приведены ранее.

Определение величин λ для различных грунтов методом засечек фронтов воздушных ударных волн kontaktного взрыва описано в [1].

На фиг. 1—3 приведены кривые $\sigma_z(R)$, $I_z(R)$ и $\tau^o(R)$ для контактного взрыва, построенные по формулам (1.1) с учетом соотношений (1.2) для песчаного грунта (1).

Различными точками на фиг. 1—3 показаны опытные данные, полученные в независимых опытах при контактных взрывах в том же грунте при $\alpha = 0^\circ$ (точки 1), $\alpha = 15^\circ$ (точки 2) и $\alpha = 30^\circ$ (точки 3). Рассмотрение данных фиг. 1—3 свидетельствует о достаточно хорошо совпадении кривых, рассчитанных по формулам (1.1) — (1.2), с соответствующими опытными данными. Некоторая

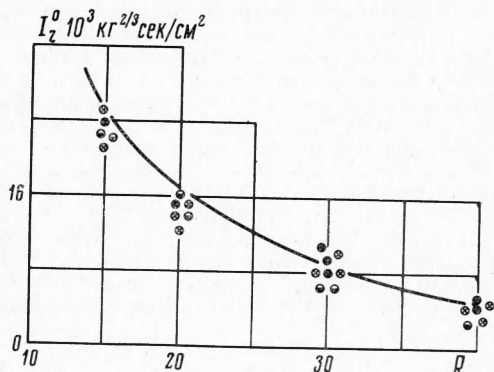


Фиг. 1

разница при определении времени действия τ^o объясняется тем, что конец волны сжатия не всегда может быть точно определен из-за различной чувствительности датчиков. Однако, как это видно из фиг. 2, на величины удельного импульса I_z^o это практически не оказывается, поскольку напряжения в конце действия волны малы. Аналогичные результаты были получены в суглиниках и глинах. На фиг. 4 представлены, в частности, данные по напряжениям, вычисленные по формулам (1.1), (1.2) для суглиников (2) и глини (3) (кривая 1), а также экспериментальные данные, полученные при $\alpha = 0^\circ$.

Таким образом, если известна доля энергии, излучающаяся в грунт при контактном взрыве и параметры волны $\sigma_z(R)$, $I_z^o(R)$, $\tau^o(R)$ при подземном взрыве, то соответствующие параметры волн напряжений в осевой области контактного взрыва могут быть определены по формулам (1.1) с введением параметра λ согласно (1.2). Наоборот, если из эксперимента известны зависимости, описывающие параметры волн напряжений при контактном взрыве в окрестности оси симметрии, то, умножив эти зависимости величину заряда C на коэффициент $1/\lambda$, можно получить параметры волн подземного взрыва для тех же грунтов.

2. Изложенные данные позволяют также определить распределение энергии при контактном взрыве в случае, когда заряд располагается так, что его поверхность расположена на уровне поверхности грунта и метод засечек фронтов [1] оказывается не применимым. На фиг. 5 приведены годографы фронта воздушной ударной волны при различных положениях центра заряда относительно поверхности суглинистого грунта (2). Кривая 1 относится к случаю, когда заряд располагается непосредственно на сво-

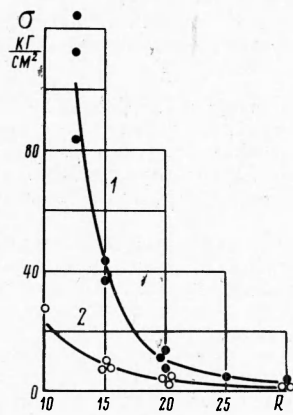


Фиг. 2

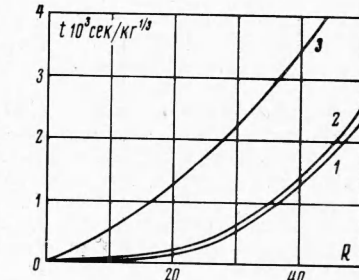
бодной поверхности, кривая 2, когда центр заряда совпадает с поверхностью, кривая 3, когда центр заряда располагается на глубине радиуса заряда от поверхности. Как видно из фиг. 5, кривая 3 проходит существенно выше кривых 1, 2. Определенная по кривой 3 (фиг. 5) согласно [1] величина λ равна 0.97, что физически почти эквивалентно камуфлетному взрыву при глубине заложения центра заряда $H_0 = 30-40 r_0$ и не соответствует действительности. Последнее обстоятельство связано с тем, что при взрыве такого заряда окружающий его грунт образует возле очага круговой «воротник». В связи с этим возникающая воздушная ударная волна в начальный момент времени распространяется преимущественно вверх, принимая форму полуэллипсоида вращения с большой осью, направленной нормально к поверхности. В дальнейшем форма фронта воздушной ударной волны становится полусферической, и волна распространяется вдоль свободной поверхности по обычным законам. Однако особенности начального этапа движения сказываются вплоть до $R = 50$. Поэтому предлагается для таких случаев другой метод определения величины λ .

Из изложенного следует, что максимальные радиальные напряжения $\sigma_r^m(R)$ при подземном взрыве и максимальные главные нормальные напряжения $\sigma_z^m(R)$ в окрестности оси симметрии при контактном взрыве определяются формулами

$$\sigma_r^m(R) = K_1 R^{-\mu_1}, \quad \sigma_z^m(R) = K_1 R^{-\mu_1} \lambda^{1/3 \mu_1} \quad (2.1)$$



Фиг. 4



Фиг. 5

Разделив (2.1) на (2.2) и решая получившееся выражение, находим

$$\lambda = \left[\frac{\sigma_z^m(R)}{\sigma_r^m(R)} \right]^{3/\mu_1} \quad (2.2)$$

Таким образом, при экспериментальном определении доли энергии, излучающейся в грунт при контактном взрыве, необходимо измерить напряжения $\sigma_z^m(R)$, $\sigma_r^m(R)$, а также определить коэффициент μ_1 . Определенная таким способом величина λ для суглинка для рассмотренного случая, когда центр заряда располагается на глубине одного радиуса заряда $H_0 = r_0$ оказалась равной $\lambda = 0.56$. Аналогичным образом был определен коэффициент λ для глины (3).

Поступила 20 XI 1967

ЛИТЕРАТУРА

1. Алексеенко В. Д. Экспериментальное исследование динамического поля напряжений в мягком грунте при контактном взрыве. ПМТФ, 1963, № 5.
2. Рыков Г. В. Экспериментальное исследование поля поражений при взрыве в песчаном грунте. ПМТФ, 1964, № 1.
3. Рыков Г. В. Экспериментальные исследования сжимаемости глинистых грунтов при подземных взрывах. ПМТФ, 1968, № 2.